# Propriedades bioeletrocatalíticas de Nanotubos de titanato funcionalizados com nanopartículas de ouro

Wellington Alves (PG)\*, Wendel A. Alves (PQ)

\*wellington.alves@ufabc.edu.br; wendel.alves@ufabc.edu.br

Centro de Ciências Naturais e Humanas, Universidade Federal do ABC, Santo André - SP, Brasil.

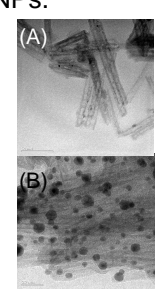
Palavras Chave: nanotubos de titanato, nanopartículas de ouro, microperoxidase 11, eletrocatálise, biossensores.

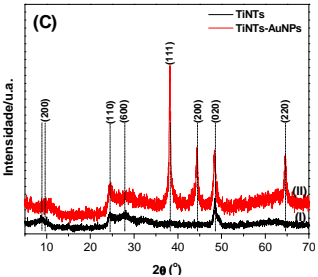
# Introdução

Reacões envolvendo transferência eletrônica direta de elétrons em proteínas têm atraído grande principalmente interesse. em processos transferência de elétrons em meios fisiológicos e sistemas biológicos, permitindo dentre outras aplicações, o desenvolvimento de bissensores e biocélulas a combustível [1]. Recentemente, tem sido reportado que o emprego de nanotubos melhora o desempenho catalítico de enzimas possibilitando sua aplicação em biossensores [1]. Neste trabalho, nanotubos de titanato [2] foram funcionalizados com AuNPs e modificados com as enzimas microperoxidase-11 (MP11) e glicose oxidase (GOx) para investigar futuras aplicações e dispositivos eletroquímicos.

## Resultados e Discussão

As Figuras 1A e 1B mostram as imagens de TEM dos TNTs puros e modificados com AuNPs. As imagens de TEM corroboram com os difratogramas mostrados na Figura 1C, o qual evidencia ainda a formação de AuNPs no interior dos TNTs conforme diminuição nos espaçamentos  $d_{200}$  de 0,98 (20 ~9,0°) para 0,90 nm (2 0 ~9,8°). Ainda, medidas de XPS confirmam a funcionalização dos TNTs com AuNPs.

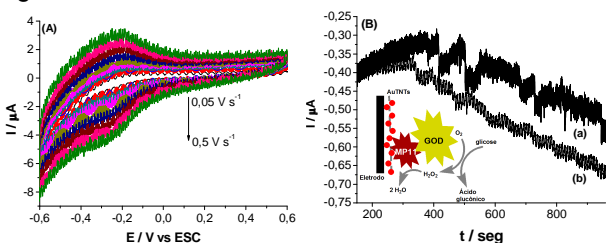




**Figura 1.** Imagens de TEM para (A) TNTs e (B) AuTNTs. (C) Difratogramas de raios-X.

Para a caracterização eletroquímica, foram obtidos filmes por LBL com 8 camadas (condição de saturação). A Figura 2 mostra os voltamogramas cíclicos do filme obtido com AuTNTs em pH 7 e atmosfera saturada de ar. As áreas eletroativas obtidas pela equação de Randles-Sevick para os eletrodos na ausência e na presença de AuNPs foram, 0,45 cm² e 0,60 cm², respectivamente. O voltamograma cíclico mostrado na Figura 2A

(GOx/MP11AuTNTs) exibe picos em -0,2 V ( $E_{pa}$ ) e -0,3 V ( $E_{pc}$ ), com potencial formal (E) de -250 mV, característicos da MP11. De acordo com o comportamento redox, a constante de transferência de elétrons ( $k_s$ ) obtida foi de ( $k_s \sim 1,6$ , eletrodo sem AuNPs) 2,3 s<sup>-1</sup>, valores expressivos se comparados a outros sistemas semelhantes, porém na ausência de AuNPs [3]. Na Figura 2B, nota-se o surgimento de uma corrente de redução após a adição de glicose, atribuída a redução do H2O2, gerado na oxidação da glicose pela GOx, na presença da enzima MP11. Ainda, a Figura 2B mostra que a corrente eletrocatalítica atinge valores elevados no eletrodo com AuNPs, confirmando que as nanopartículas tornam mais eficiente o processo de transferência eletrônica entre o eletrodo e o sítio ativo da enzima. O mecanismo pelo qual ocorre a redução do H<sub>2</sub>O<sub>2</sub> é representado no encarte da Figura 2B.



**Figura 2.** (A) Voltamogramas para o eletrodo GOx/MP11AuTNTs, 0,05 V s<sup>-1</sup> < v < 0,5 V s<sup>-1</sup>. (B) Resposta amperométrica em tampão pH 7, após adições sucessivas de glicose 0,1 mol L<sup>-1</sup> para os eletrodos (a) GOx/M11TNTs e (b) GOx/MP11AuTNTs. Potencial aplicado, -0,35 V.

#### Conclusões

O emprego de AuNPs contribui para o aumento da velocidade de transferência de elétrons eletrodoenzimas. Medidas eletroquímicas realizadas permitem concluir que os eletrodos modificados estudados nesse trabalho exibem grande potencial para aplicação em biocélulas a combustível.

### Agradecimentos

UFABC, FAPESP, CNPq, INCT-Bioanalítica, LME-LNLS.

<sup>&</sup>lt;sup>1</sup>Bao, A. et al. *Adv. Funct. Mater.* **2008**, *18*, 591.

<sup>&</sup>lt;sup>2</sup>Alves, W.; Alves, W. A. et al. *J. Phys. Chem. C.* **2011**, *115*, 12082.

<sup>&</sup>lt;sup>3</sup>Wu, S.; Ju, H.; Liu, Y. Adv. Funct. Mater. 2007, 17, 585.